

PROSPECÇÃO GEOFÍSICA
PARA CARVÃO

26
0729



COMPANHIA DE PESQUISA DE RECURSOS MINERAIS

INVESTIGAÇÃO GEOFÍSICA PARA CARVÃO

Moysés Bentes
Antonio Flavio Uberti Costa

II SEMINÁRIO BRASILEIRO SOBRE TÉCNICAS EXPLORATÓRIAS NA
GEOLOGIA - Gravatal - SC - Fev. 79

1. INTRODUÇÃO

A indústria do carvão, no mundo, vem se beneficiando de métodos geofísicos em múltiplos aspectos:

- 1 - deteção de veios de carvão e delineamento estrutural para a descoberta de novas jazidas;
- 2 - planejamento de minas novas;
- 3 - desenvolvimento e extensão de minas existentes.

Os métodos geofísicos de que se trata aqui são os métodos sísmicos - refração e reflexão - e a eletrorresistividade - sondagens elétricas verticais.

A pesquisa de carvão tem alguns pontos de comparação com a pesquisa de petróleo que são muito significativos. A matéria orgânica, matriz do carvão, se deposita sobre áreas mais ou menos vazias e aí permanece, sem migrar. O petróleo migra e para se acumular requer barreiras, sejam de natureza estrutural, sejam de natureza estratigráfica. Estruturas como falhas e dobras são frequentemente vitais para se ter uma acumulação econômica de petróleo. Estruturas dessa mesma natureza podem inviabilizar economicamente a exploração do carvão.

Do ponto de vista dos métodos geofísicos é igualmente importante o condicionamento estrutural da ocorrência de petróleo e de carvão. Do ponto de vista da extração, algumas condicionantes são distintas num caso e outro. No caso de petróleo a fluidez, a pressão e o tipo de acumulação (estrutural versus estratigráfica) são altamente relevantes. No caso do carvão a ausência de complicações estruturais afeta de forma importante a economia da extração. Importa em ambos os casos: a qualidade, a profundidade e as determinantes genéticas das ocorrências.

Todas essas considerações advêm do fato de que os métodos geofísicos que ora se empregam na pesquisa de carvão, e, particu-

lamente, os que serão comentados neste trabalho, tiveram seus mais significativos desenvolvimentos na exploração de petróleo.

Além da abordagem dos métodos em si, de seus "modus operandi", do tratamento dos dados por eles obtidos, é de fundamental importância observar as propriedades físicas do carvão, aquelas que o distinguem das rochas que o contêm e que, podem servir para individualizá-lo.

Quanto aos métodos aqui enfocados, dois - a refração sísmica e a eletrorresistividade - são indiretos, e um - a reflexão sísmica - pode ser direto.

A reflexão sísmica que tem sido empregada para carvão é a de alta resolução.

No caso específico do Rio Grande do Sul a metodologia aplicada combinou refração sísmica com sondagens elétricas verticais. Essa combinação de métodos visou, como é lógico, o delineamento estrutural, e, neste caso, em particular, o do embasamento precambriano. Isto se baseou em que, nessa região, os furos de sonda, previamente praticados, permitiram perceber a existência de uma relação entre depressões basais e o espessamento do conjunto de camadas de carvão, acompanhando o espessamento da Formação Rio Bonito que as contém.

2. PROPRIEDADES FÍSICAS DO CARVÃO

Algumas propriedades físicas do carvão são particularmente propícias à geofísica. A resistividade elétrica é média a alta, a suscetibilidade é próxima da do vácuo, a radioatividade em geral é baixa, a densidade é muito baixa e as velocidades sísmicas são baixas, se se levar em consideração idade e profundidade.

Para ilustrar a importância de algumas dessas propriedades tomam-se algumas figuras de um trabalho de Hagemann, R.F. e Peace, D.C. (1976). Na figura 1, são apresentados perfis de velocidade contínua (sônico), densidade e impedância acústica. Acima das camadas de car-

3
vão, até quase 300 metros, todos os três perfis são relativamente mo-
nótonos. Daí para baixo diversos contrastes de densidade e velocidade
evidenciam a sucessão das camadas de carvão. A figura 2 representa
a ampliação para que se visualize melhor, do perfil sônico, onde se
vê a camada de carvão dos 517 aos 518,8m.

A figura 3 é, também, uma ampliação. Aí se podem observar três
camadas de carvão. Na ilustração seguinte, figura 4 está feita uma
análise de refletividade (coeficiente de reflexão) na base da cama-
da superior de carvão, em função do contraste de velocidades (coef.
0,242) e do contraste de velocidades e densidades (coef. 0,450). De
todo modo são coeficientes de reflexão altos. O valor 0,242, por e-
xemplo, equivaleria a uma interface entre sedimentos com velocidade
3660 m/s e embasamento com velocidade 6000 m/s.

3. REFLEXÃO SÍSMICA DE ALTA RESOLUÇÃO

Quando se gera um pulso de energia com propósito de pesqui-
sa sísmica, esse pulso contém um largo espectro de frequências, das
mais baixas às mais altas. Um tal trem de ondas ao atravessar um pa-
cote de rochas tem atenuada sua fração de altas frequências. Por
outro lado, são as frequências mais altas que, através dos fenome-
nos conhecidos, permitem uma resolução melhor das feições de me-
nor magnitude, como camadas finas, falhas de pequeno rejeito, etc.
Em resumo: frequência baixa, maior penetração; frequência alta, me-
lhore resolução.

Dai decorre que, se o que se quer investigar está a peque-
na profundidade, basta melhorar a seletividade e recepção das fre-
quências altas. Mas a profundidades médias e grandes, os sinais des-
sas frequências retornam de tal sorte fracos, que o único recurso
seria o de amplificá-los e reforçá-los, de algum jeito. Assim, nos
dias que correm, acumulando conquistas passadas, recentes e mais
remotas, se chegou à reflexão sísmica de alta resolução, combinan-
do:

DEPTH TO TIME CONVERSION

CHECK SHOT'S
1
2
3
4
5
6
7
8
9
10
11
12
13
14
15
16
17
18
19
20
21
22
23
24
25
26
27
28
29
30
31
32
33
34
35
36
37
38
39
40
41
42
43
44
45
46
47
48
49
50
51
52
53
54
55
56
57
58
59
60
61
62
63
64
65
66
67
68
69
70
71
72
73
74
75
76
77
78
79
80
81
82
83
84
85
86
87
88
89
90
91
92
93
94
95
96
97
98
99
100
101
102
103
104
105
106
107
108
109
110
111
112
113
114
115
116
117
118
119
120
121
122
123
124
125
126
127
128
129
130
131
132
133
134
135
136
137
138
139
140
141
142
143
144
145
146
147
148
149
150
151
152
153
154
155
156
157
158
159
160
161
162
163
164
165
166
167
168
169
170
171
172
173
174
175
176
177
178
179
180
181
182
183
184
185
186
187
188
189
190
191
192
193
194
195
196
197
198
199
200
201
202
203
204
205
206
207
208
209
210
211
212
213
214
215
216
217
218
219
220
221
222
223
224
225
226
227
228
229
230
231
232
233
234
235
236
237
238
239
240
241
242
243
244
245
246
247
248
249
250
251
252
253
254
255
256
257
258
259
260
261
262
263
264
265
266
267
268
269
270
271
272
273
274
275
276
277
278
279
280
281
282
283
284
285
286
287
288
289
290
291
292
293
294
295
296
297
298
299
300
301
302
303
304
305
306
307
308
309
310
311
312
313
314
315
316
317
318
319
320
321
322
323
324
325
326
327
328
329
330
331
332
333
334
335
336
337
338
339
340
341
342
343
344
345
346
347
348
349
350
351
352
353
354
355
356
357
358
359
360
361
362
363
364
365
366
367
368
369
370
371
372
373
374
375
376
377
378
379
380
381
382
383
384
385
386
387
388
389
390
391
392
393
394
395
396
397
398
399
400
401
402
403
404
405
406
407
408
409
410
411
412
413
414
415
416
417
418
419
420
421
422
423
424
425
426
427
428
429
430
431
432
433
434
435
436
437
438
439
440
441
442
443
444
445
446
447
448
449
450
451
452
453
454
455
456
457
458
459
460
461
462
463
464
465
466
467
468
469
470
471
472
473
474
475
476
477
478
479
480
481
482
483
484
485
486
487
488
489
490
491
492
493
494
495
496
497
498
499
500
501
502
503
504
505
506
507
508
509
510
511
512
513
514
515
516
517
518
519
520
521
522
523
524
525
526
527
528
529
530
531
532
533
534
535
536
537
538
539
540
541
542
543
544
545
546
547
548
549
550
551
552
553
554
555
556
557
558
559
560
561
562
563
564
565
566
567
568
569
570
571
572
573
574
575
576
577
578
579
580
581
582
583
584
585
586
587
588
589
590
591
592
593
594
595
596
597
598
599
600
601
602
603
604
605
606
607
608
609
610
611
612
613
614
615
616
617
618
619
620
621
622
623
624
625
626
627
628
629
630
631
632
633
634
6

CONTINUOUS VELOCITY LOG

Sonic transit time (micro. sec/ft)

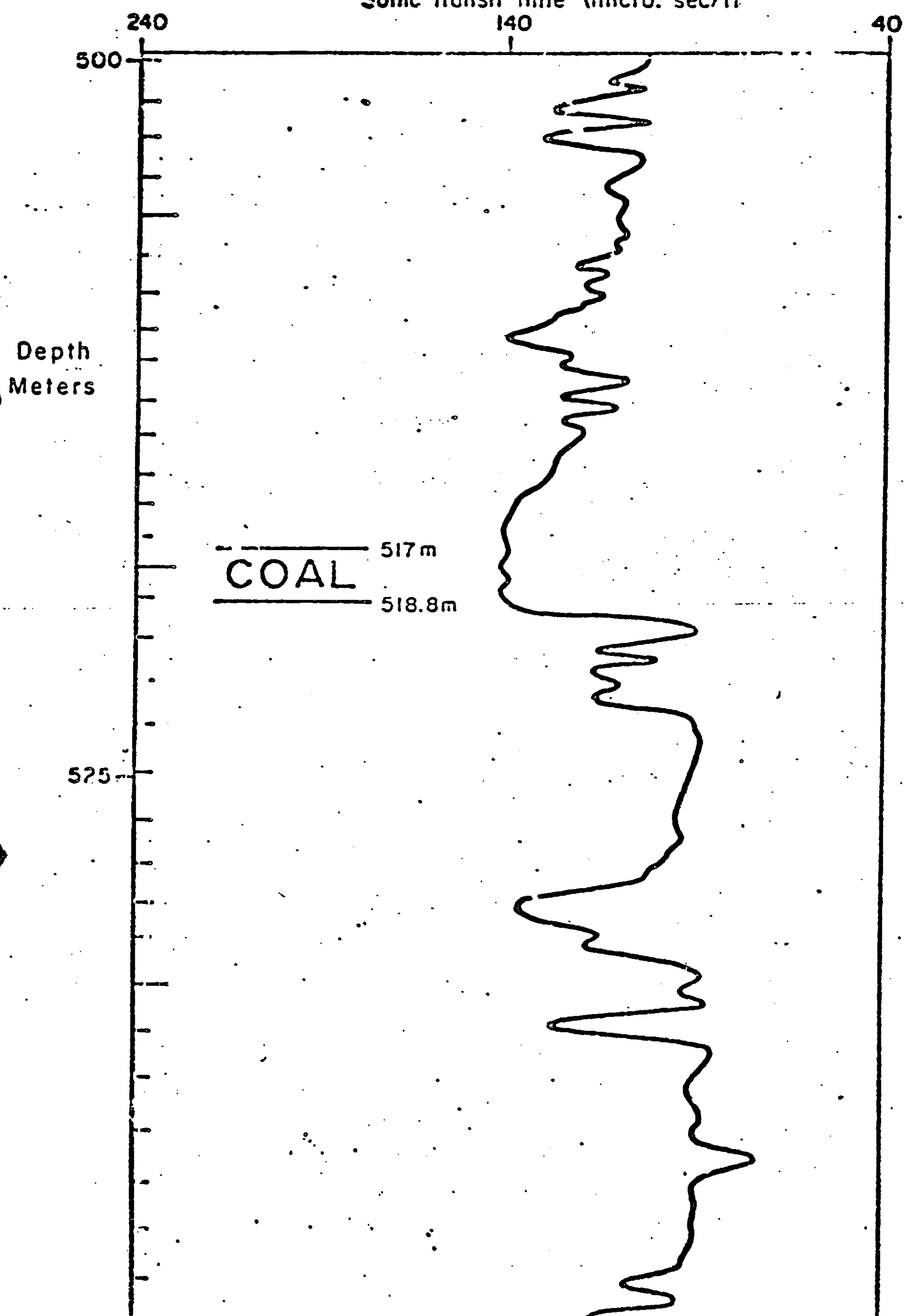
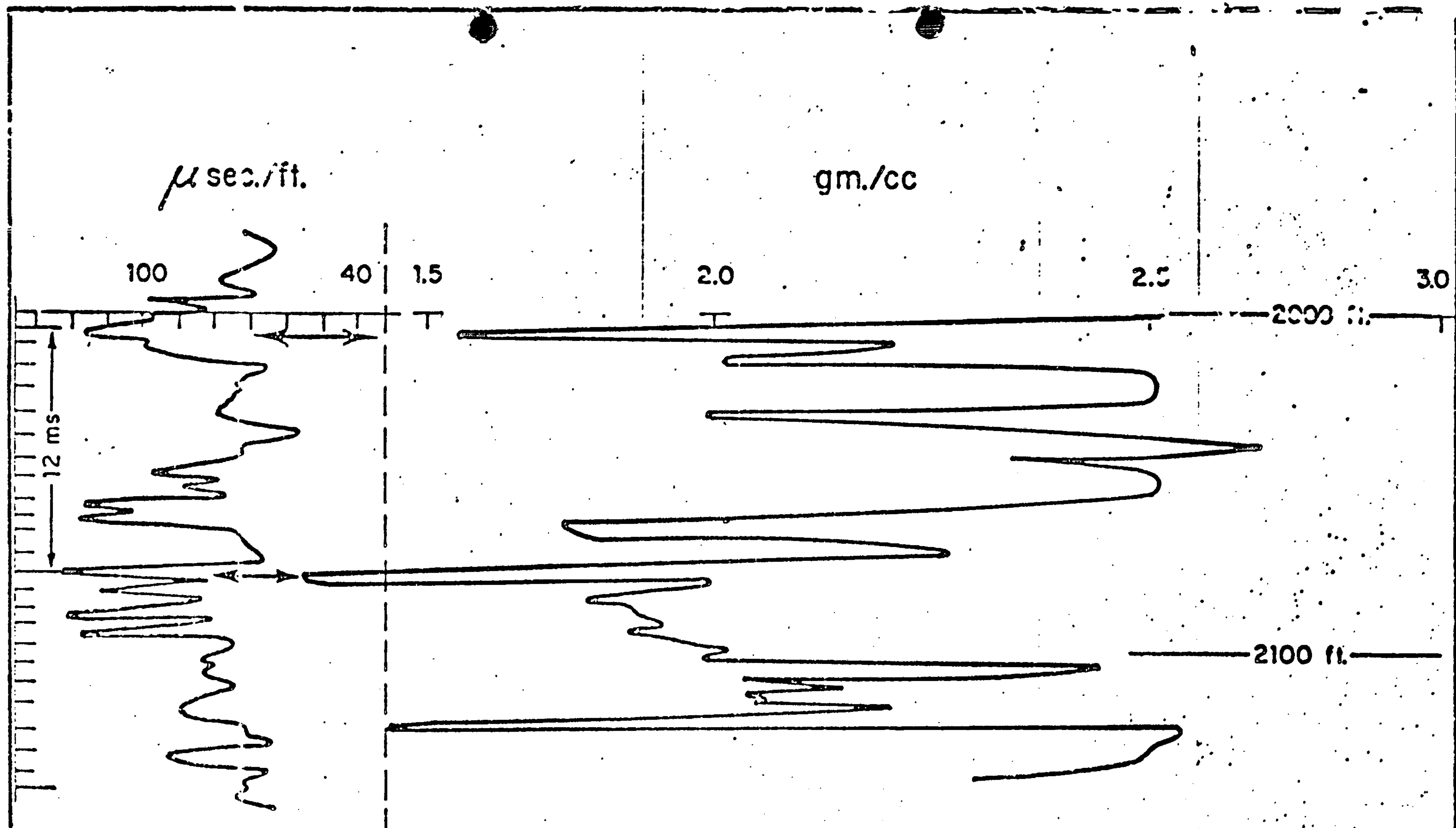


FIGURA 2



CONTINUOUS
VELOCITY LOG

FORMATION DENSITY LOG

COEFICIENTE DE REFLEXÃO DA BASE
DE UMA CAMADA DE CARVÃO
(deduzido da fig. 3)

$$\delta_0 = 1,55 \text{ g/cm}^3 \text{ (CARVÃO)}$$

$$v_0 = \frac{1}{118 \times 10^{-6}} \text{ ft/s} = 8475 \text{ ft/s} = 2584 \text{ m/s}$$

$$\delta_0 v_0 = 4,00475 \times 10^{-3}$$

$$\delta_1 = 2,50 \text{ g/cm}^3 \text{ (FOLHELHO SOTOPOSTO AO CARVÃO)}$$

$$v_1 = \frac{1}{72 \times 10^{-6}} \text{ ft/s} = 13889 \text{ ft/s} = 4234 \text{ m/s}$$

$$\delta_1 v_1 = 10,58604 \times 10^{-3}$$

Se não se consideram as densidades:

$$\text{Coef. de Refl.} = \frac{v_1 - v_0}{v_1 + v_0} = 0,242$$

Mas, se considerarmos os contrastes de densidades:

$$\text{Coef. de Refl.} = \frac{\delta_1 v_1 - \delta_0 v_0}{\delta_1 v_1 + \delta_0 v_0} = 0,450$$

- melhoria nos equipamentos;
- técnicas de campo adequadas;
- técnicas de processamento eletrônico.

Considerando-se o renovado interesse pelo carvão, não tardou que essas novas técnicas viesssem a ser aplicadas à sua pesquisa e à sua lavra. As excepcionais propriedades físicas do carvão, de que já se deu notícia neste trabalho, são um fator de grande ajuda neste tipo de pesquisa.

A figura 5, segundo Farr, J.B. (1978) mostra uma equipe de alta resolução operando sobre uma seção geológica onde aparecem alguns dos alvos típicos de uma pesquisa para carvão. As técnicas de campo são comparáveis, em escala reduzida, às da reflexão sísmica convencional. Os geofones-tipo "downhole" são enterrados a intervalos que, em geral, variam de 5 a 20 m. Esses detectores produzem um traço comparável a um pseudo perfil sísmico de alta resolução e que, com os parâmetros adequados, pode ter o mesmo grau de resolução de um perfil geofísico de poço. As informações que se podem inferir de um conjunto de tais traços compreendem a localização de falhas de rejeito muito pequeno, canais de areia, "shale-outs" e outras feições lateralmente cambiantes, estruturais e estratigráficas, que afetam a qualidade geológica de uma ocorrência de carvão. No caso da figura 5, furos rasos, foram feitos a cada 10 m. Depois de desocupados (dos geofones) são usados como pontos de tiro. As cargas de explosivo, pequenas, ao serem detonadas, produzem energia sísmica de frequência muito alta, detectada nos geofones e registrada digitalmente em aparelhagem especial de campo expandido.

A cada detonação se avança 10 m. Esta é a bem conhecida técnica de Common Depth Point (CDP). Os registros de campo são processados em computador, onde se aplicam as correções estáticas e dinâmicas adequadas e se empilham os traços correspondentes a pon-

300 METROS

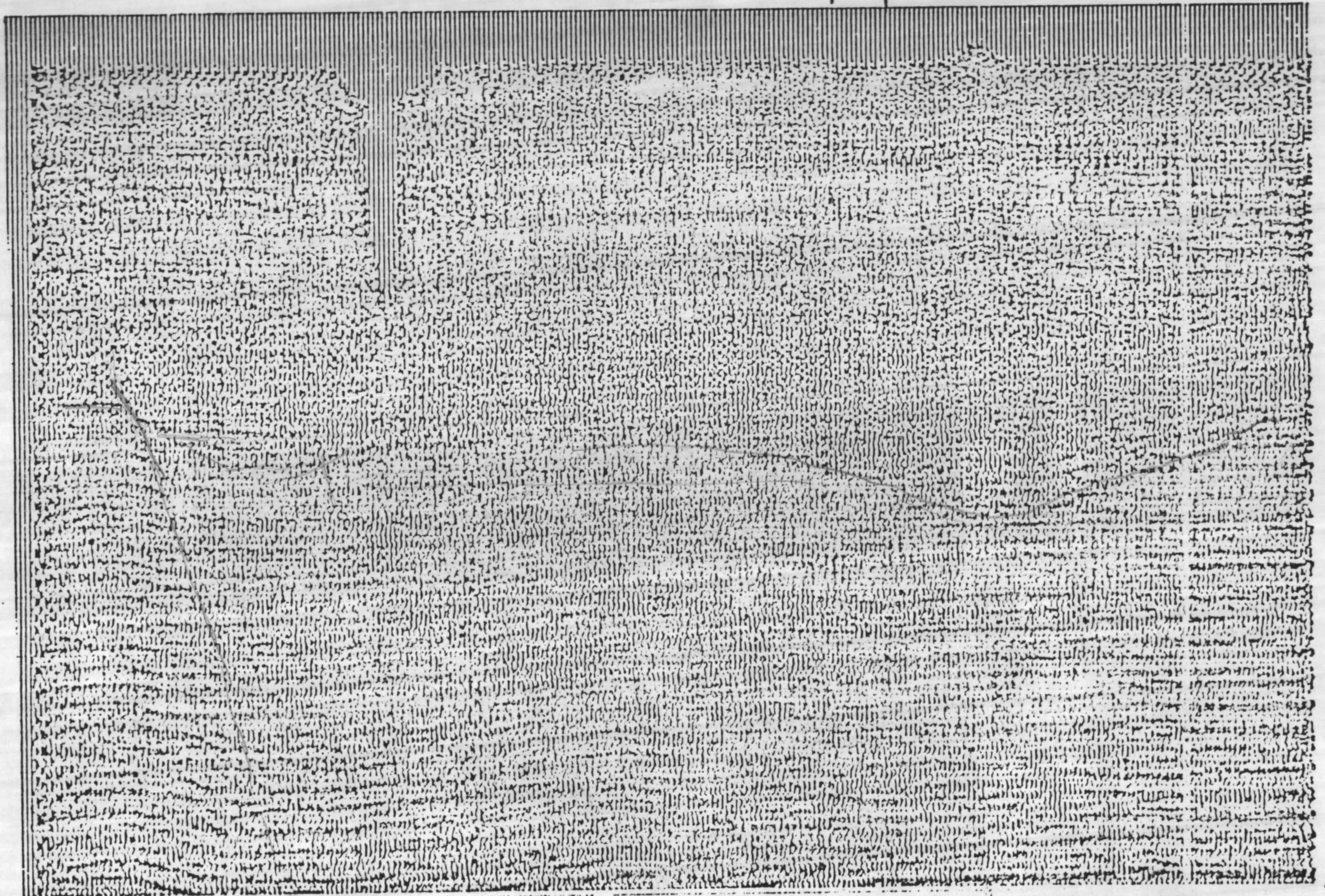


FIGURA 6

Segundo Farr, J.B., 1978, Seismic Profiling for Coal
Mining Planning, SEG Int. Meeting

BOREHOLE CROSS SECTION

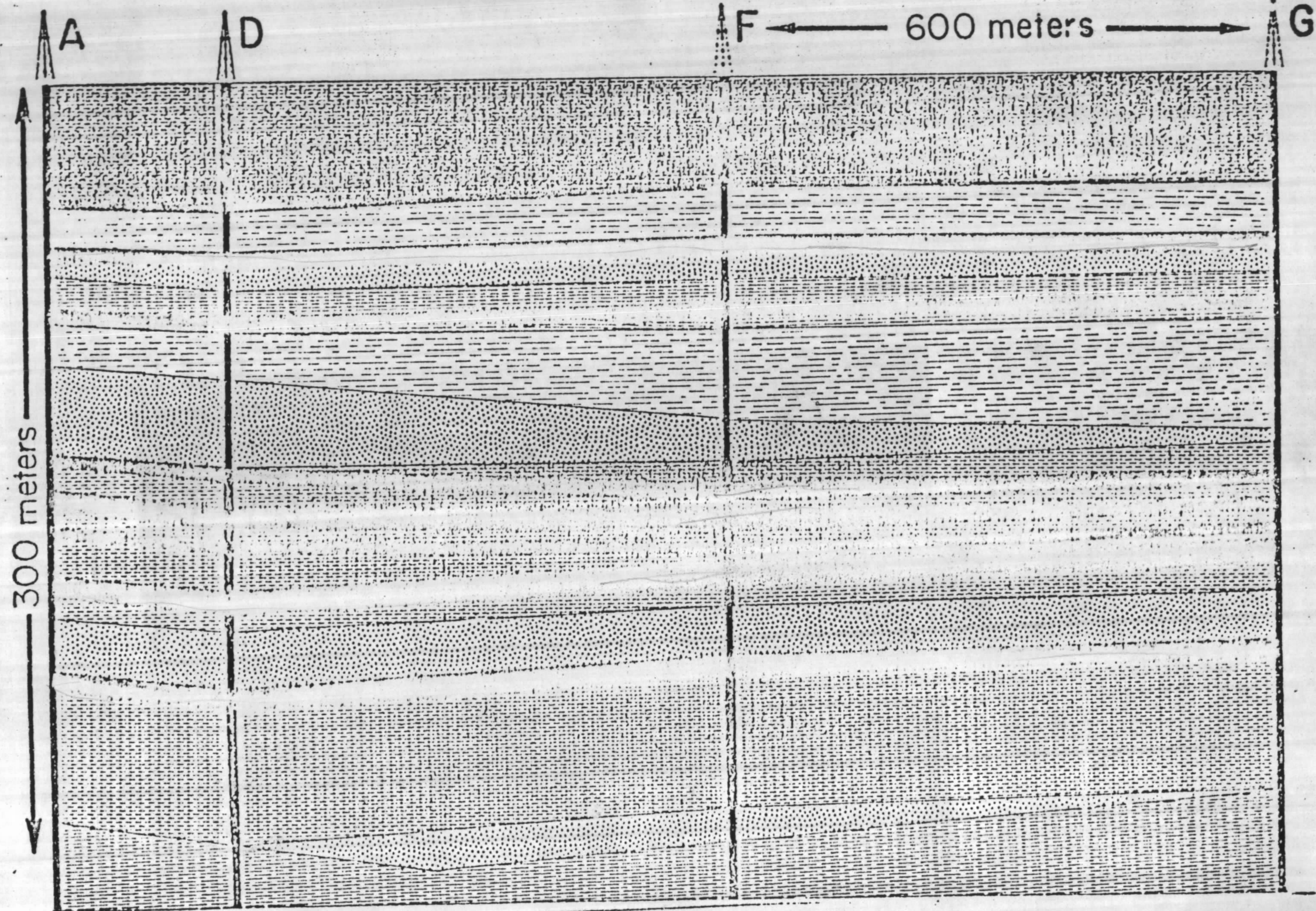


FIGURA 7

Segundo Farr, J.B., 1978, Seismic Profiling for Coal
Mining Planning, SEG Int. Meeting

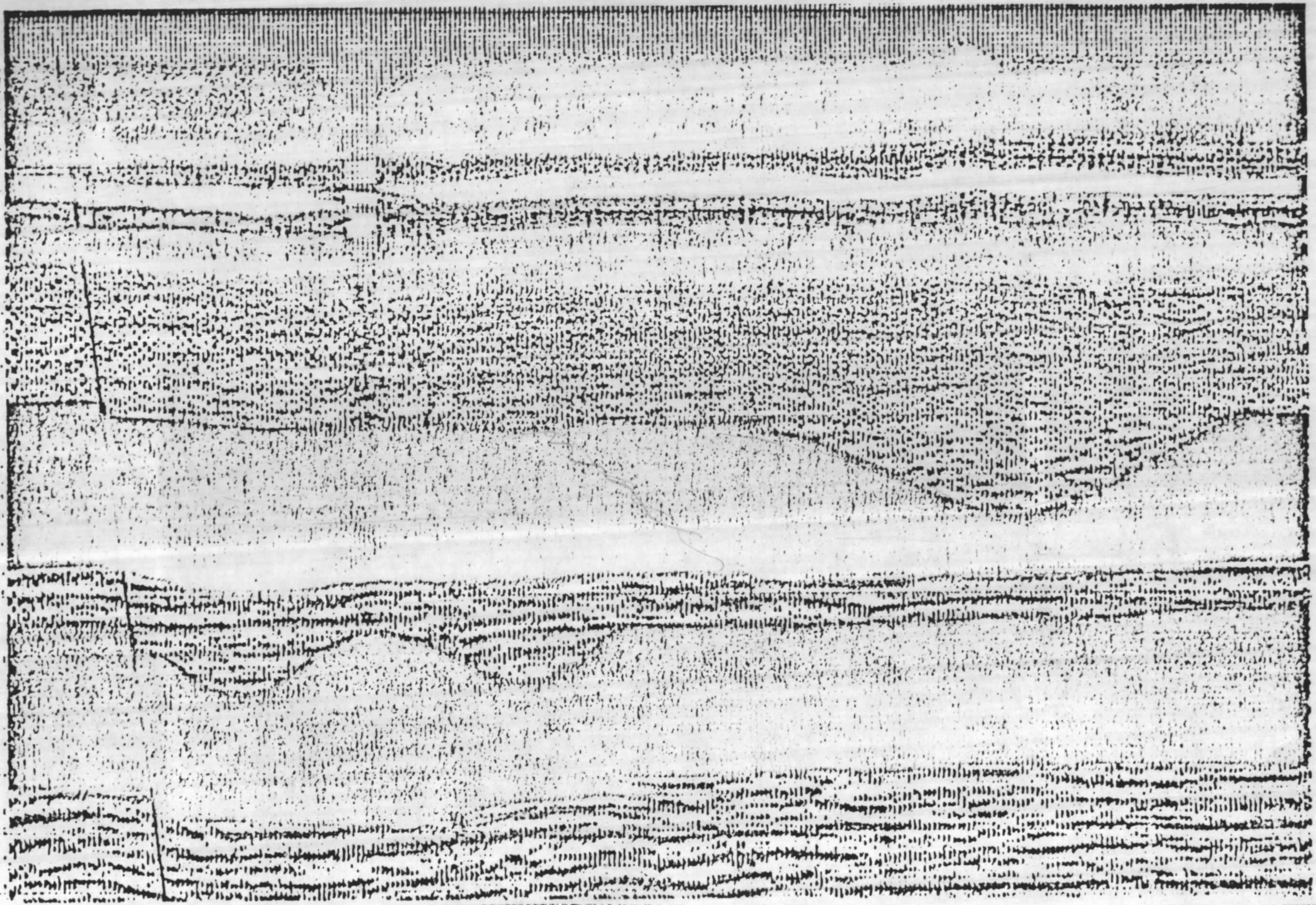


FIGURA 8

Segundo Farr, J.B., 1978, Seismic Profiling for Coal
Mining Planning, SEG Int. Meeting

SEISMIC CROSS SECTION

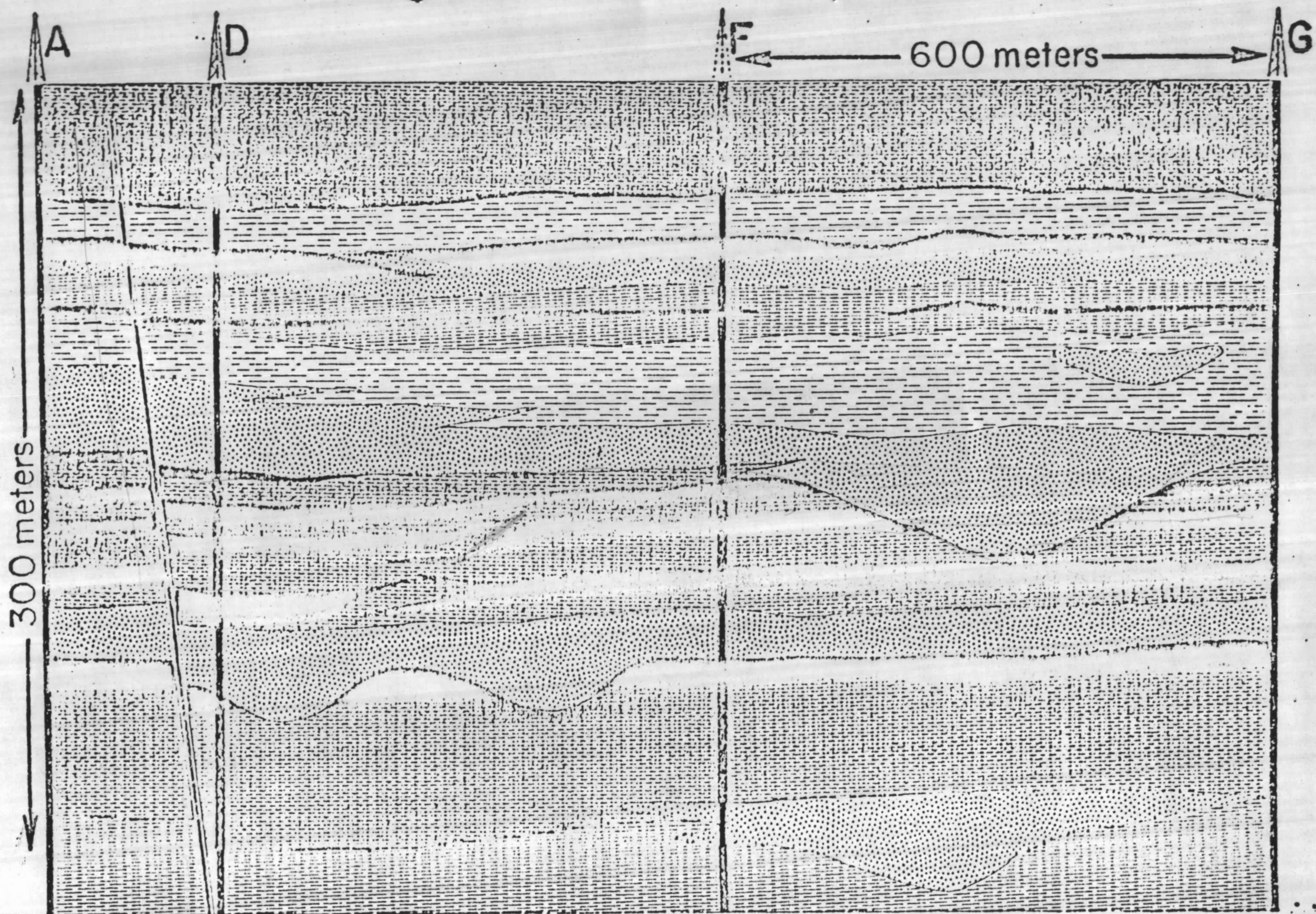


FIGURA. 9

Segundo Farr, J.B., 1978, Seismic Profiling for Coal
Mining Planning, SEG Int. Meeting

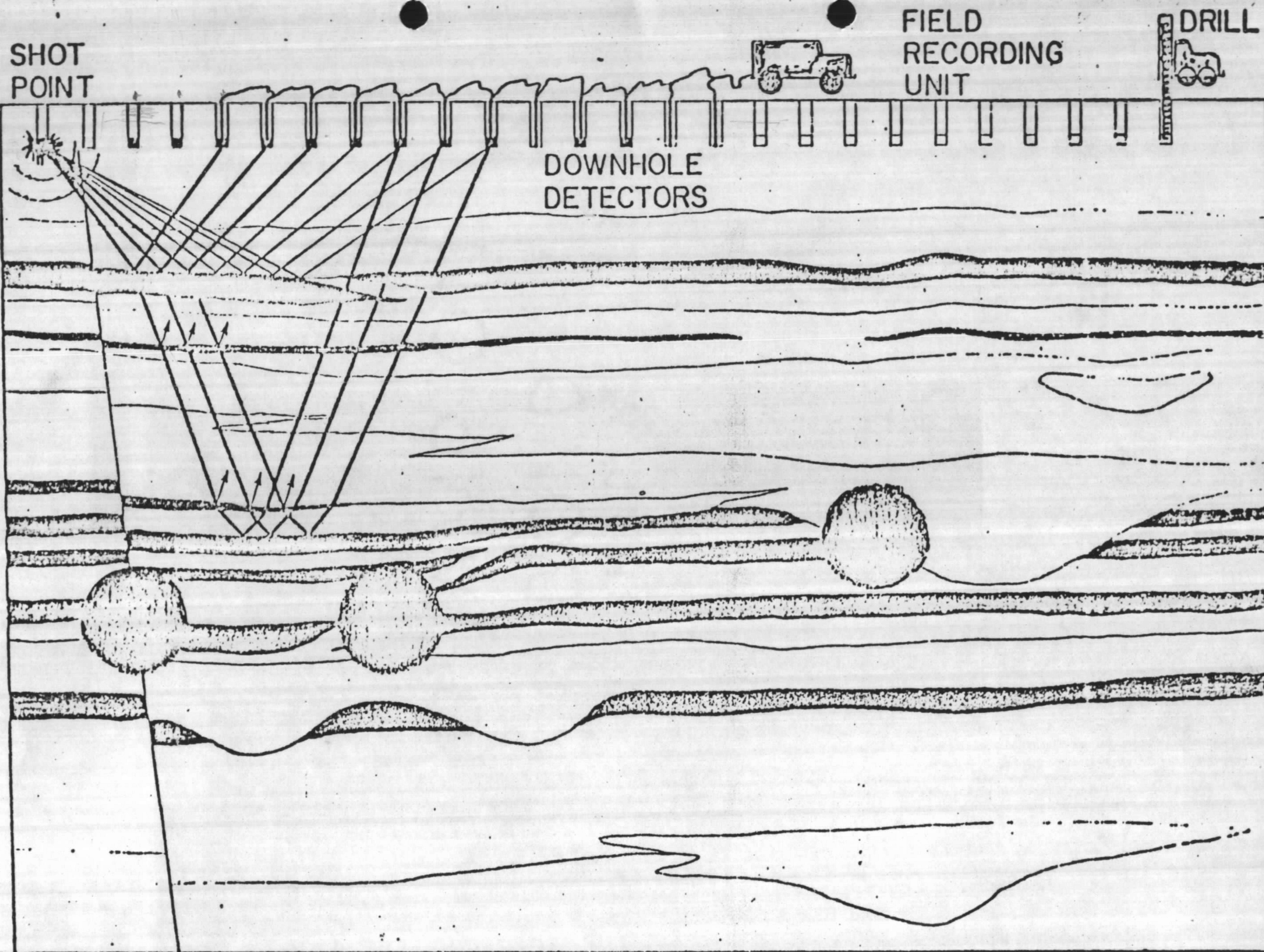


FIGURA 5

48

4800%

Segundo Farr, J.B., 1978, Seismic Profiling for Coal
Mining Planning, SEG Int. Meeting

tos comuns em profundidade (CDP), obtendo-se assim o reforço dos fracos sinais de alta frequência.

O resultado desse processamento é o que se vê na figura 6 (Farr-op.cit.). Essa seção sísmica deve, agora, ser interpretada.

Antes, porém, de mostrar a interpretação, convém fazer uma pequena digressão. Qualidade, em sentido produtivo, é descrita pela palavra alemã BONITAT. Por sugestão de Fettweis (1977) essa palavra vem sendo usada para designar os fatores de qualidade geológica relativos ao condicionamento de um corpo de carvão. O termo BONITAT se aplica às condicionantes de área e de ambiente e não às qualidades do carvão como produto. Estas últimas são, segundo Farr (op.cit.) as qualidades tangíveis como: umidade, valor calórico, teor de cinzas, de enxofre ou de outros constituintes deletérios, qualidade siderúrgica, etc.

Os fatores ou qualidades que constituem a "bonität", seriam:

- condições geométricas - extensão das camadas, direção e mergulho, profundidade, dobramentos, falhamentos, intrusões, "partings", espessura total de carvão, continuidade e regularidade das condições geométricas;
- condições geomecânicas - estratificação, clivagens, fissião, tenacidade, dureza, abrasividade, permeabilidade; continuidade e regularidade dessas condições; pressão;
- condições geoquímicas
- condições hidrogeológicas
- condições relativas a gases naturais - perigo de combustão espontânea (p.ex. liberação de metano).

No que diz respeito às qualidades tangíveis e a algumas qualidades "bonität" somente a sondagem pode fornecer informação,

como é óbvio. Por outro lado o arcabouço tectônico da área, a continuidade (ou falta de) das camadas, os fatores de regularidade em geral, são difíceis de estabelecer somente com furos de sonda (ou extremamente dispendiosos).

Voltando ao exemplo em discussão: a figura 7 apresenta uma seção geológica obtida por correlação entre os furos A, D, F e G. Como se vê, excelente "bonität". Na figura 8 tem início a interpretação da seção sísmica mostrada na figura 6. Já se observam aí, nitidamente: uma falha, e paleocanais, além de alguns outros detalhes. Na figura 9, amarrando-se os dados sísmicos aos de sonedagem (dos mesmos furos A, D, F e G) chega-se a novo estágio de interpretação, inteiramente compatível com os dados conhecidos e com uma situação de "bonität" inteiramente distinta.

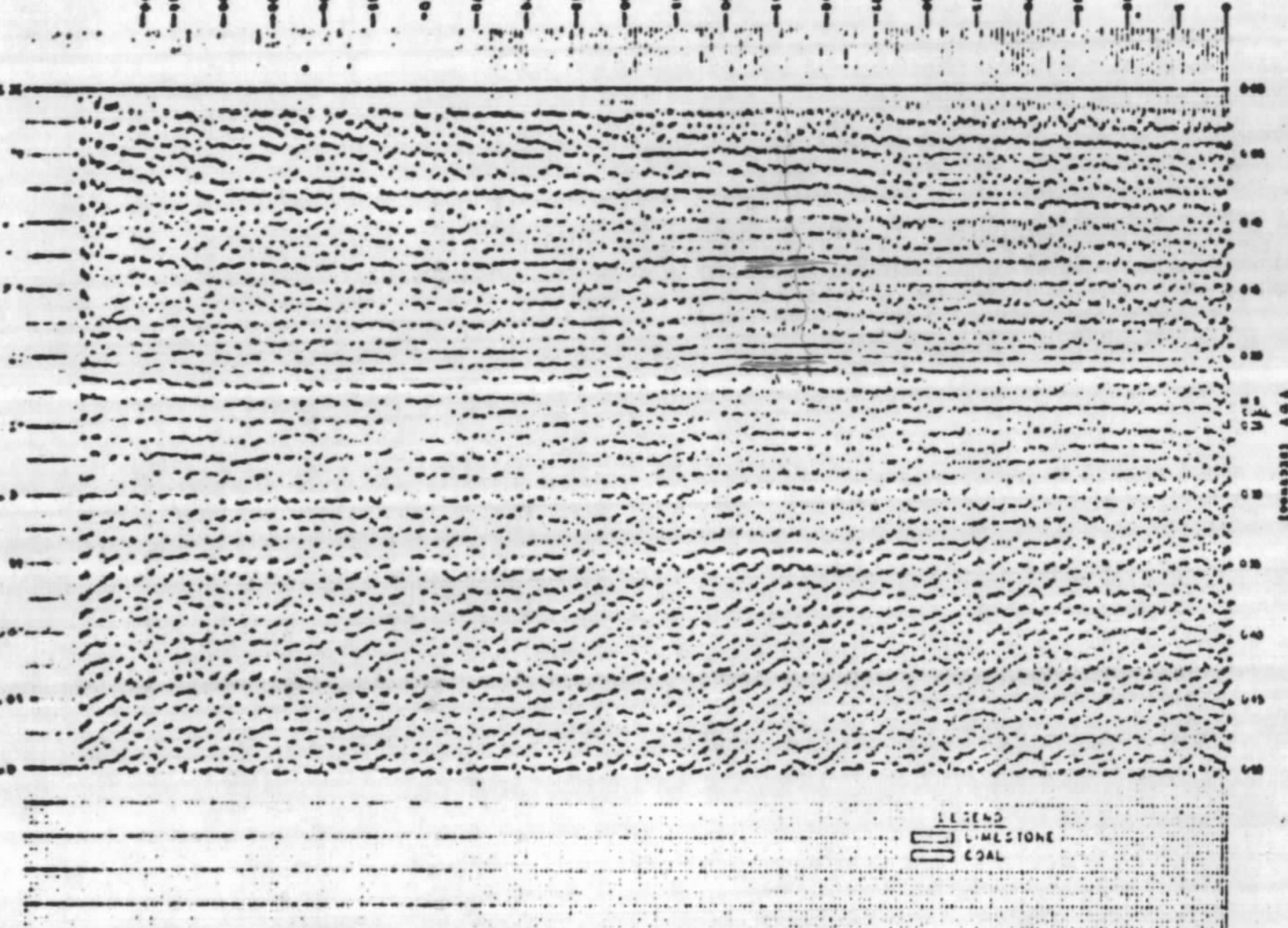
As figuras 10 e 11 constituem outro exemplo de sísmica de alta resolução para carvão.

4. REFRAÇÃO SÍSMICA E ELETGORRESISTIVIDADE

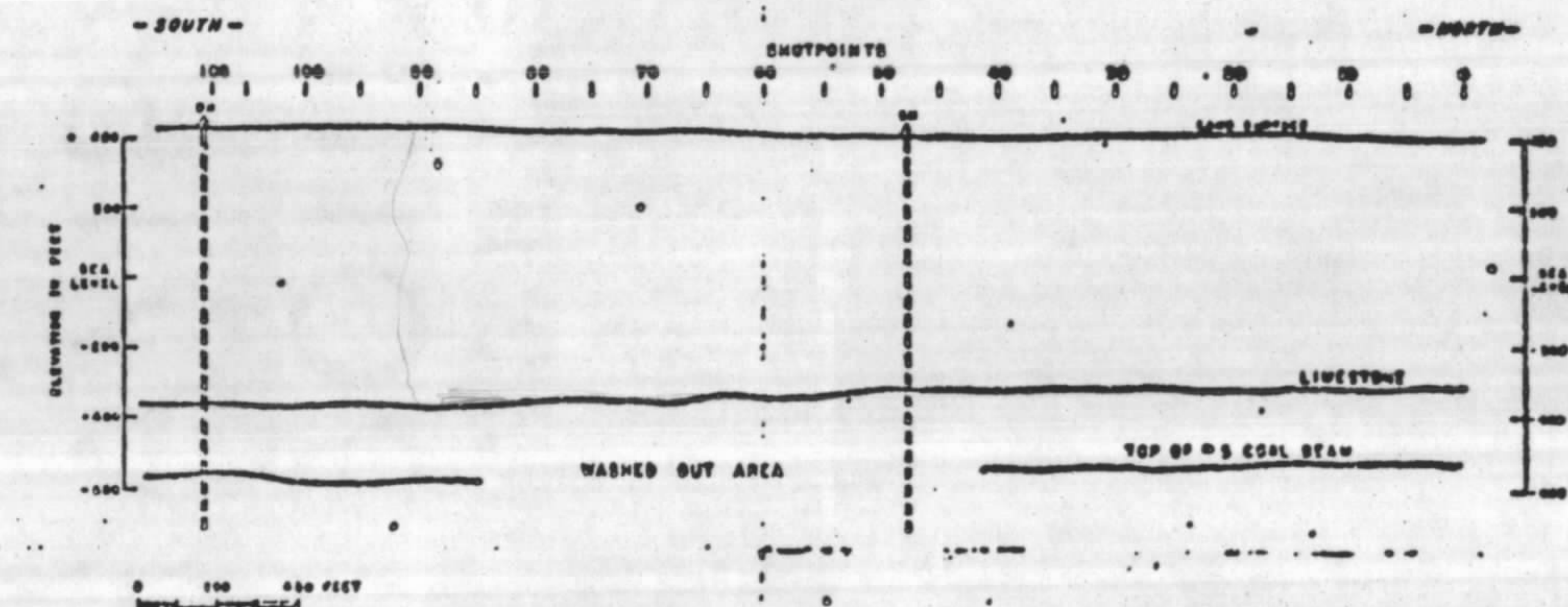
O método sísmico de refração e a eletrorresistividade podem ser utilizados com sucesso, na pesquisa de carvão, sempre que a presença deste se relacione de alguma forma com condicionamen -tos tectono-estruturais.

A figura 12 é um sismograma típico de levantamento no Rio Grande do Sul. Foi registrado em sismógrafo RS-4/SIE de 12 canais de amplificadores e um de "time break ". O afastamento entre geofones foi de 100 m e o "offset" entre o ponto de tiro e a posição 1 do dispositivo, de 950 m. A carga, de gelatina sismográfica, foi de 36 Kg, distribuída em 18 furos de tracô, em estrela, com 0,8 m cada, de profundidade. O "time break " (momento da explosão) foi transmitido por rádio. O tempo entre cada dois traços verticais é de 0,010 segundos.

Os primeiros eventos estão assinalados e contados, mas não



MINI-SOSIE[®] FOR COAL EXPLORATION: EXAMPLE OF A WASHOUT (SOUTHEAST ILLINOIS)



FIELD PARAMETERS	
PROCESSED BY SEFEL J. & ASSOC.	DATE NOV. 1977
TYPE INST. MINI-SOSIE	FORMAT SEG-Y
REC. LEN. 1 SECOND	B.I. 1 MS.
SOURCE RAMMER	TYPE GVR-181
POPS/SP 1700	FIELD FLT. 30HZ LO-CUT
SR INT. 10 METERS	SP INT. 10 METERS
NO. TRACES 12	FOLD 6
FIELD GEOMETRY	X=20-130 METERS

PROCESSING SEQUENCE	
1. REFORMAT TO SEFEL N-CHANNEL FORMAT	
2. DC BIAS REMOVAL AND 60HZ NOTCH FILTER	
3. DISPLAY RECORDS	
4. CDP GATHER	
5. STRUCTURAL STATIC	
CORRECTION VELOCITY 1528 M/SEC.	
ELEVATION OF DATUM 125 METERS	
6. VELOCITY ANALYSIS	CVB
7. HVD CORRECTION	
8. MUTE APPLICATION	
9. CDP PERCENT STACK	
10. SIGNATURE DECONVOLUTION	
11. LO-CUT FILTER	60HZ
12. T.V. EQUALIZATION	
13. FILM DISPLAY	0.300 SECOND
14. 35MM TPI 20 IPS	

OTTAWA: YVES SERRES
2663 VALLEY ROAD
OTTAWA, ONTARIO K1B 9P6
PHONE: (613) 731-0578
TELE: 653-3808

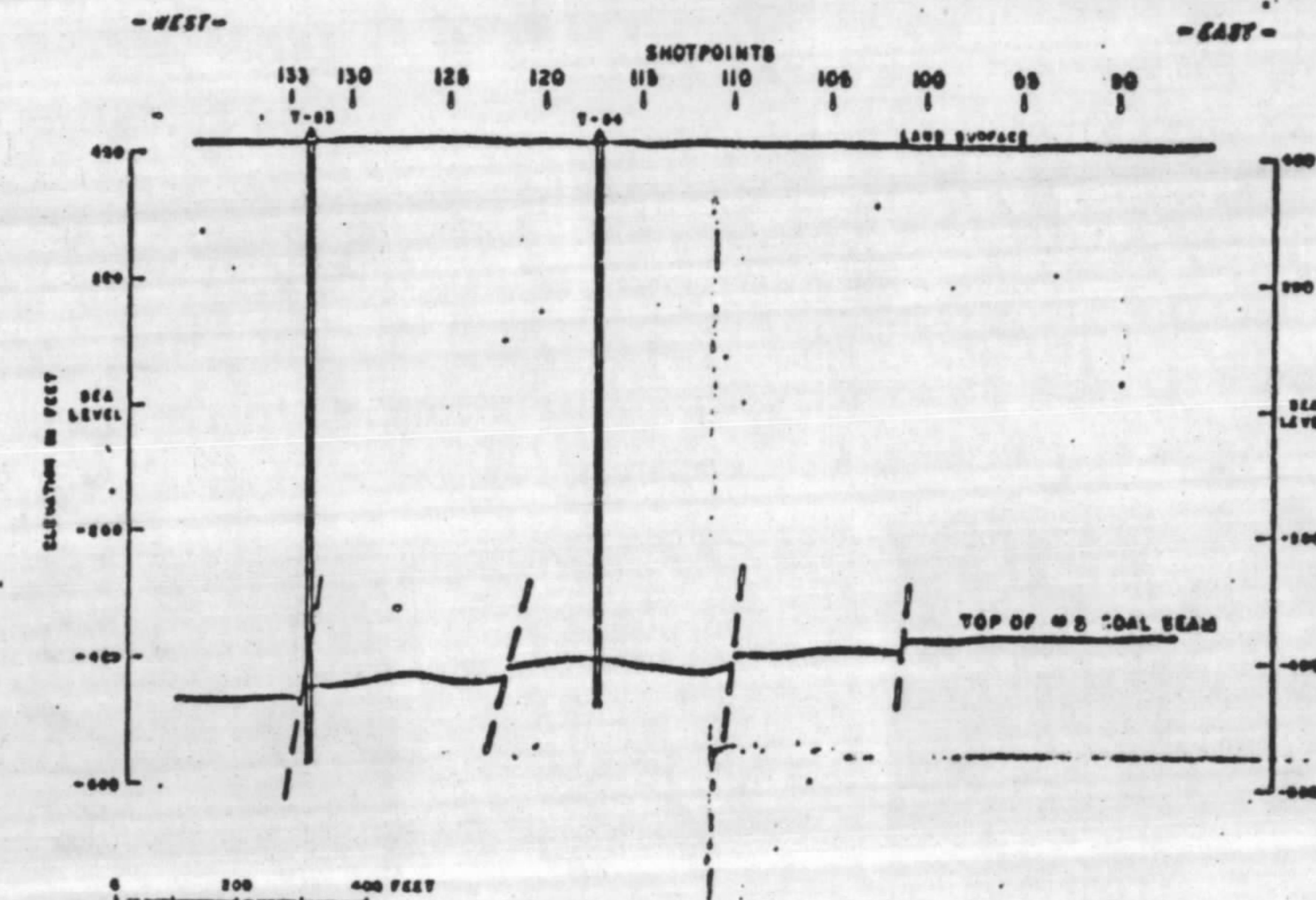
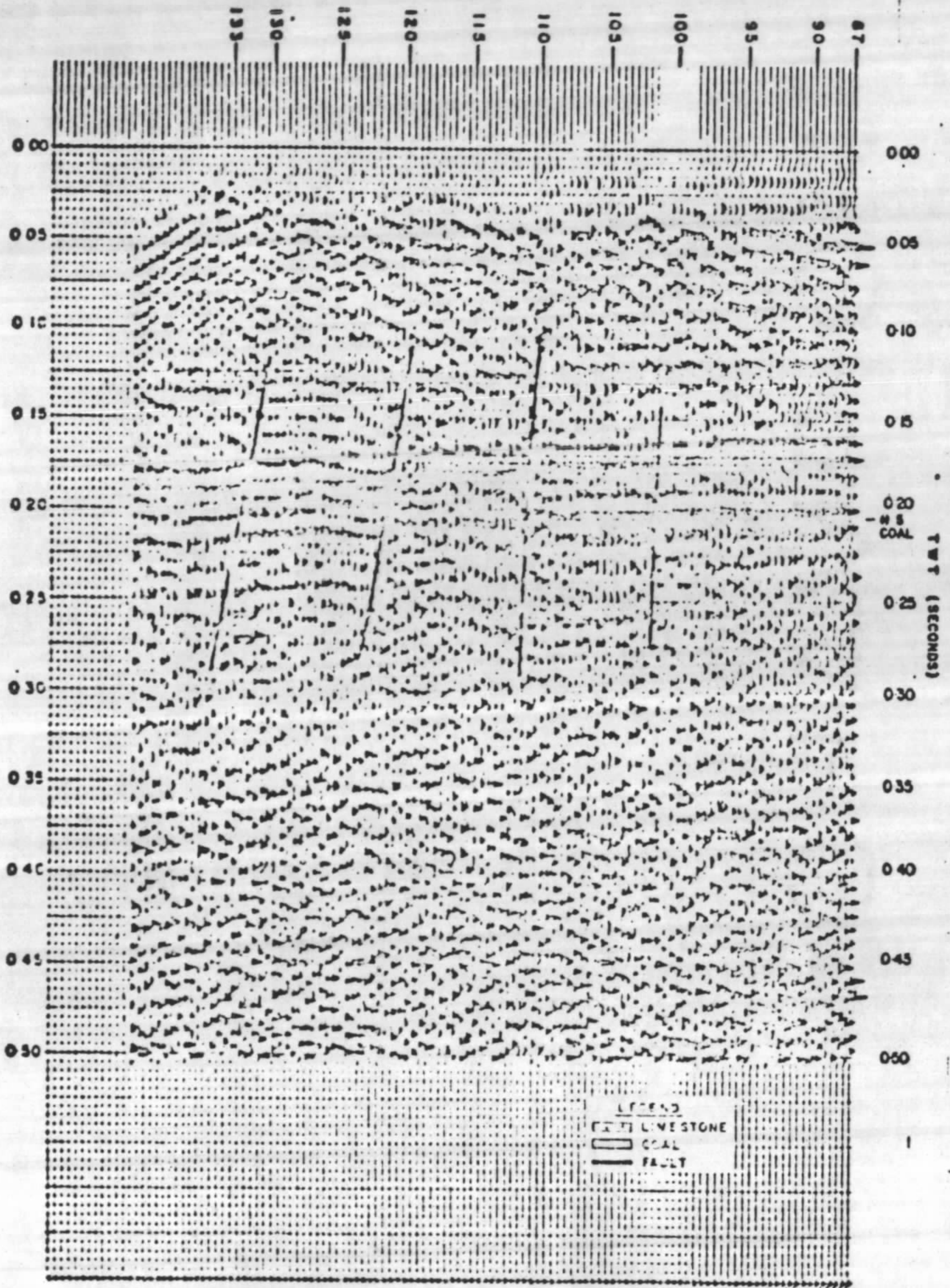


HOUSTON: JACK LARD
6170 WESTGLEN
HOUSTON, TEXAS 77048
PHONE: (713) 761-0630
TELE: 772266

DENVER: CHRIS WILES
THREE PARK CENTRAL, SUITE 300
1515 APPALACHIAN STREET
DENVER, COLORADO 80202
PHONE: (303) 371-3146
TELE: 484346

* TRADEMARK OF SOCIETE NATIONALE ELF-AQUITAINE (PRODUCTION)

MINI-SOSIE[®] FOR COAL EXPLORATION: EXAMPLE OF A FAULTED SEAM (SOUTHEAST ILLINOIS)



FIELD PARAMETERS			
PROCESSED BY	SEFEL J. & ASSOC.		
TYPE INST.	MINI-SOSIE	DATE	NOV. 1977
REC. LEN.	1 SECOND	FORMAT	SEG-Y
SOURCE	RAMMER	S.I.	1 MB.
POPS/SP	1700	TYPE	GVR-181
GR. INT.	10 METERS	FIELD FLT.	30HZ. LO-CUT
NO. TRACES	12	SP. INT.	10 METERS
		FOLD	6
		FIELD GEOMETRY	X-40-150 METERS
PROCESSING SEQUENCE			
1.	REFORMAT TO SEFEL N-CHANNEL FORMAT		
2.	DC BIAS REMOVAL AND 60HZ NOTCH FILTER		
3.	DISPLAY RECORDS		
4.	CDF GATHER		
5.	STRUCTURAL STATIC		
6.	CORRECTION VELOCITY 1525 M/SEC.		
7.	ELEVATION OF DATUM 125 METERS		
8.	VELOCITY ANALYSIS CVS		
9.	NMO CORRECTION		
10.	MUTE APPLICATION		
11.	600 PERCENT STACK		
12.	SIGNATURE DECONVOLUTION		
13.	BANDPASS FILTER 62-140HZ.		
14.	T.V. EQUALIZATION		
15.	FILM DISPLAY 0.500 SECOND		
16.	13.3 TPI 20 IPS		

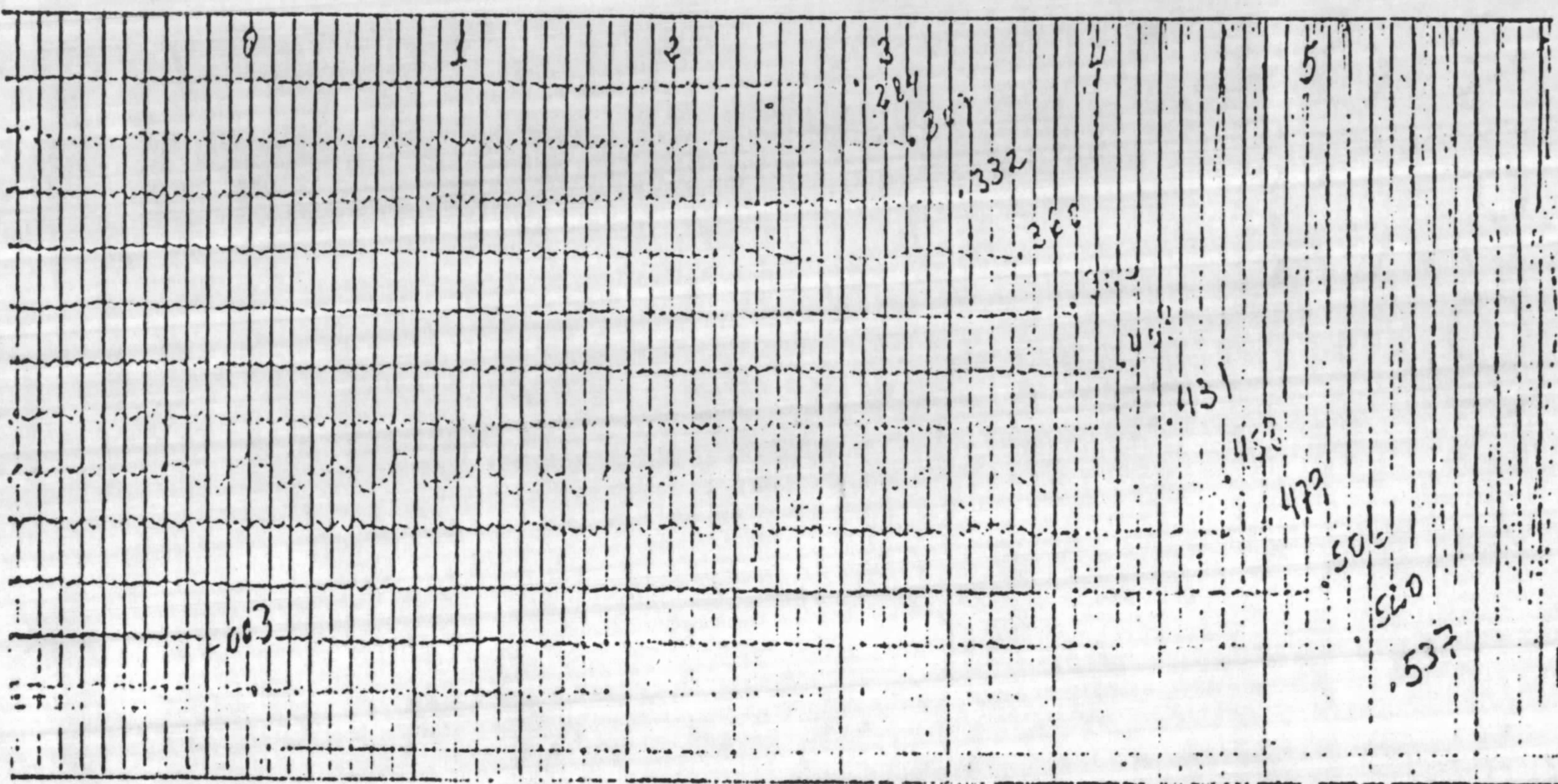
* TRADEMARK OF SOCIETE NATIONALE ELF-AQUITAINE (PRODUCTION)

OTTAWA YVES SERRES
2040 WALKLEY ROAD
OTTAWA, ONTARIO K1G3P8
PHONE: (613) 731-9871
TELEX: 093-3508



HOUSTON JACK LAND
8120 WESTGLEN
HOUSTON, TEXAS 77042
PHONE: (713) 781-3830
TELEX: 773268

DENVER CHRIS WILES
THREE PARK CENTRAL, SUITE 880
1515 ARAPAHOE STREET
DENVER, COLORADO 80202
PHONE: (303) 571-1148
TELEX: 484348



F

FIGURA 12

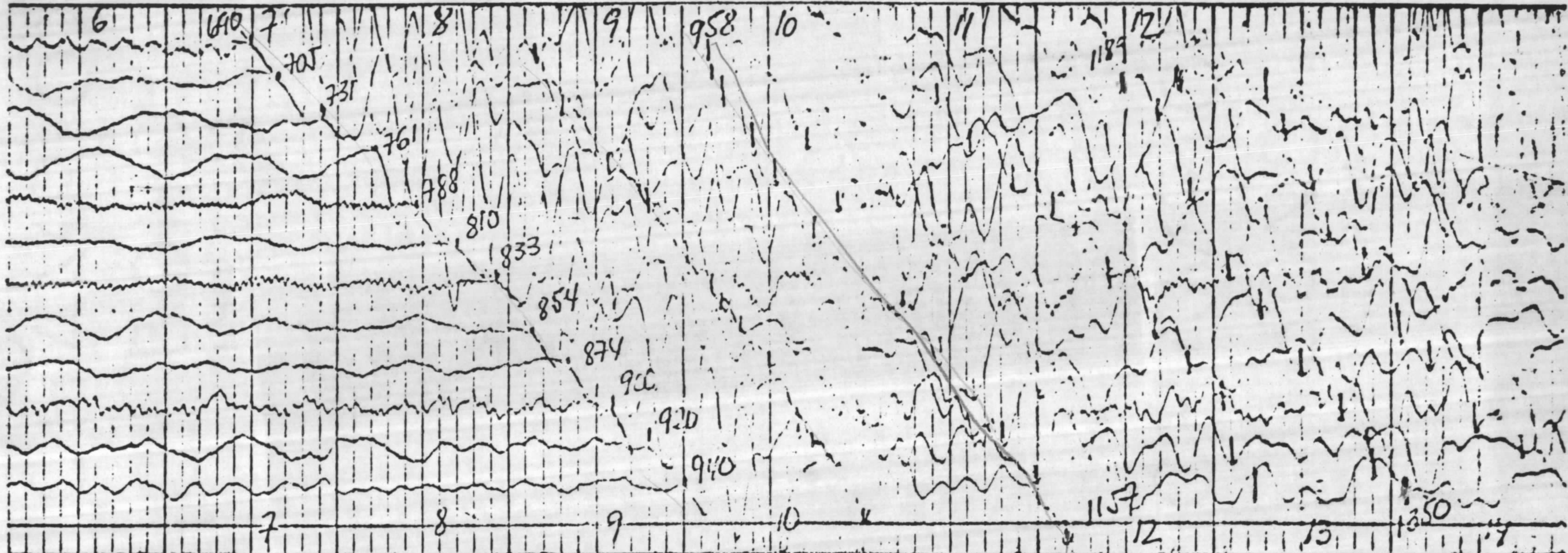


FIGURA 13

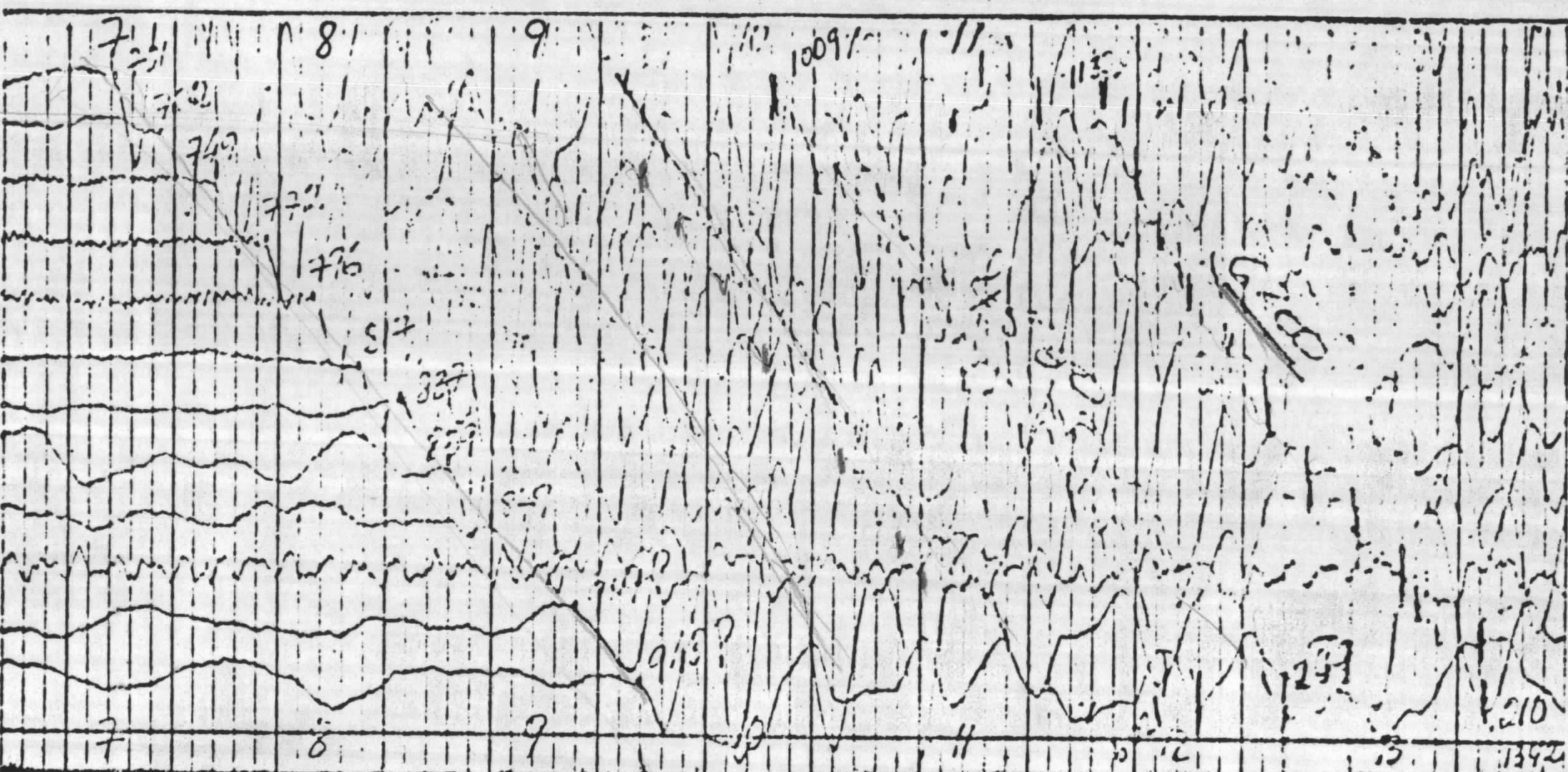


FIGURA 14

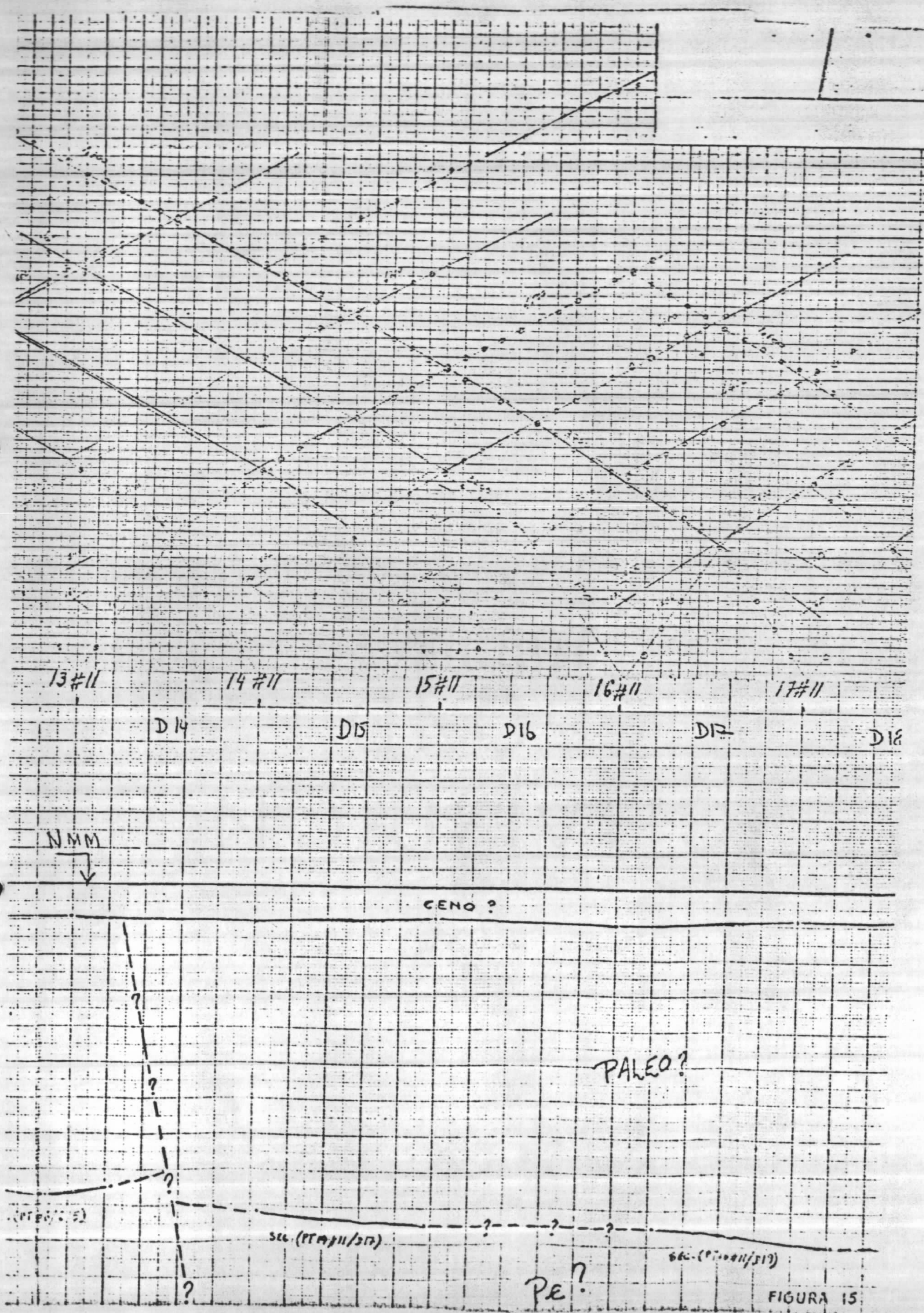


FIGURA 15

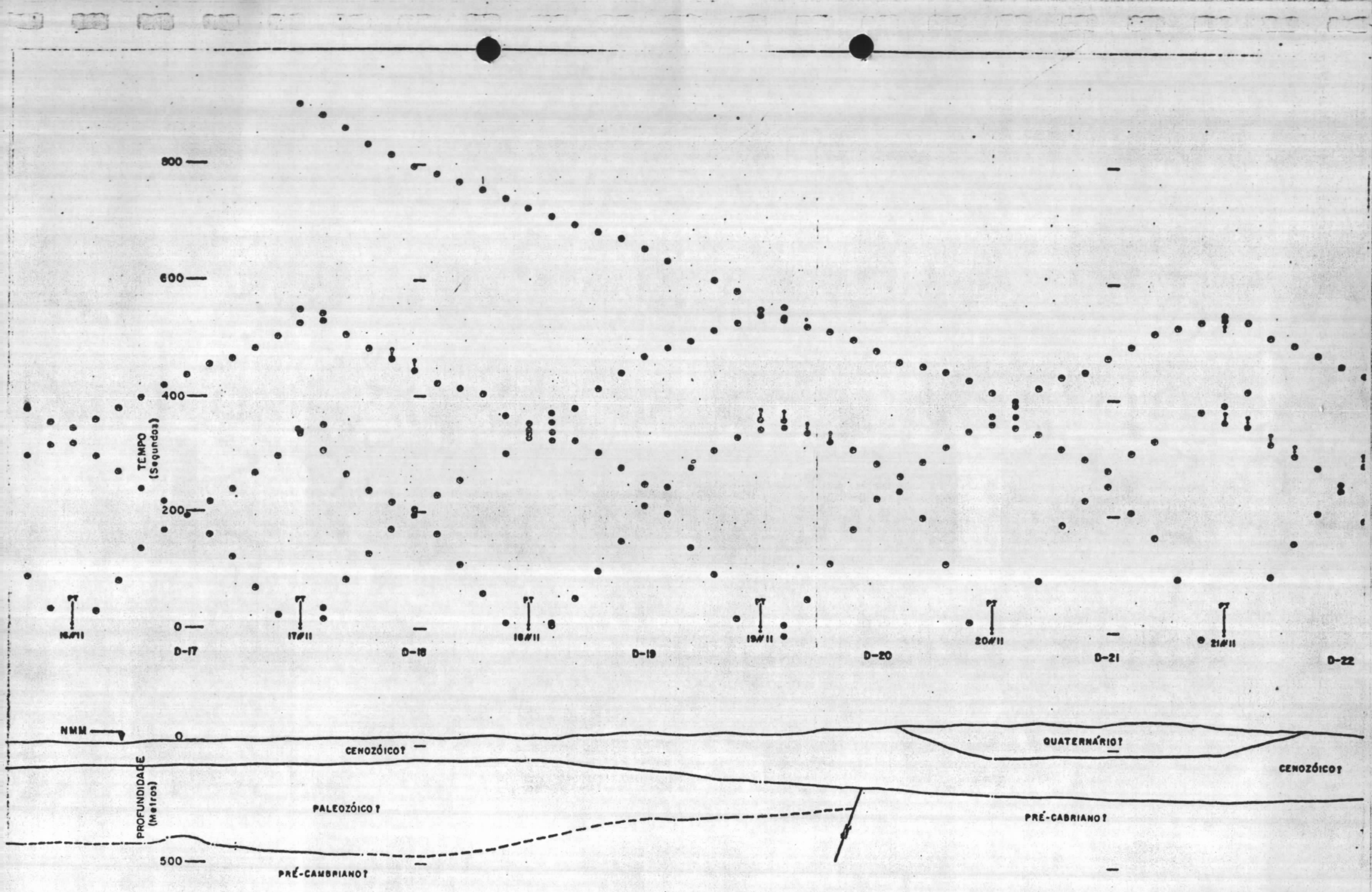


FIGURA 16

corrigidos (por sinal que esta área é essencialmente plana e as correções estáticas para o nível do mar são quase idênticas e em torno de 0,050 s). Neste registro todas as primeiras quebras representam chegadas de ondas refratadas. A distância crítica a um refrator foi aqui atingida entre os traços 9 e 10. Os traços 1 a 9 indicam velocidade média aparente de 4000 m/s, o que, na área, deve corresponder ao pacote paleozóico. Os traços 10 a 12 tem como velocidade média aparente 6500 m/s, ao que tudo indica, corresponde a embasamento cristalino inclinado (no caso aparentemente, mergulhando do 12 para o 10, pois a velocidade real do embasamento, aqui, se situa em torno dos 5800 m/s).

As figuras 13 e 14 são sismogramas com eventos secundários utilizados para localizar o embasamento que havia, eventualmente, escapado ao controle da programação. Na figura 14, por exemplo, a secundária correspondente ao embasamento mostra velocidade aparente de 6200 m/s. Na figura 15 estão mostrados os trechos do gráfico tempo-distância e do perfil do embasamento calculado com base neste evento secundário (em torno de -1900m). No gráfico T-X (tempo-distância) onde estão plotadas apenas as primeiras chegadas, não se vê nenhum segmento representativo do embasamento.

A figura 16 é um gráfico T-X com o perfil geológico correspondente abaixo, computado por método de "delay times". As estruturas aí observadas decorrem da interpretação. A falha terminal da bacia paleozóica tem, entretanto, evidenciação em superfície.

Este rápido perpassar de alguns elementos de sísmica do Projeto Geofísica Terrestre para Carvão em Santa Catarina e Rio Grande do Sul, tem por único objetivo demonstrar, embora pálidamente, algumas das possibilidades do método.

O que se busca aqui são depressões ou "baixos" no embasamento, pois, a eles, em geral, correspondem promissoras ocorrências de carvão.

No Projeto acima mencionado a refração sísmica serviu de a poio a sondagens elétricas verticais (SEV's).

As figuras 18, 19 e 20 são curvas de campo de SEV's. A figura 18, SEV SA-23 serviu de apoio à perfuração de um furo de sonda que confirmou a estrutura observada no mapa de contornos do embasamento (fig.21).

Um dos maiores problemas contornados na aplicação da eletrorresistividade foi o da macroanisotropia. Esse fenômeno distorce a curva e faz aparentar profundidades muito maiores do que as reais. Estimaram-se, por comparação com a sísmica e com dados de furos de sonda, coeficientes regionais de anisotropia, os quais, aplicados, tornaram os resultados compatíveis com os fatos geológicos.

Do término da etapa de campo, em setembro de 1978, para cá, alguns furos de sonda foram executados com resultados satisfatóriamente condizentes com as previsões geofísicas.

CROQUIS:

EQUIPE:

SE SA23

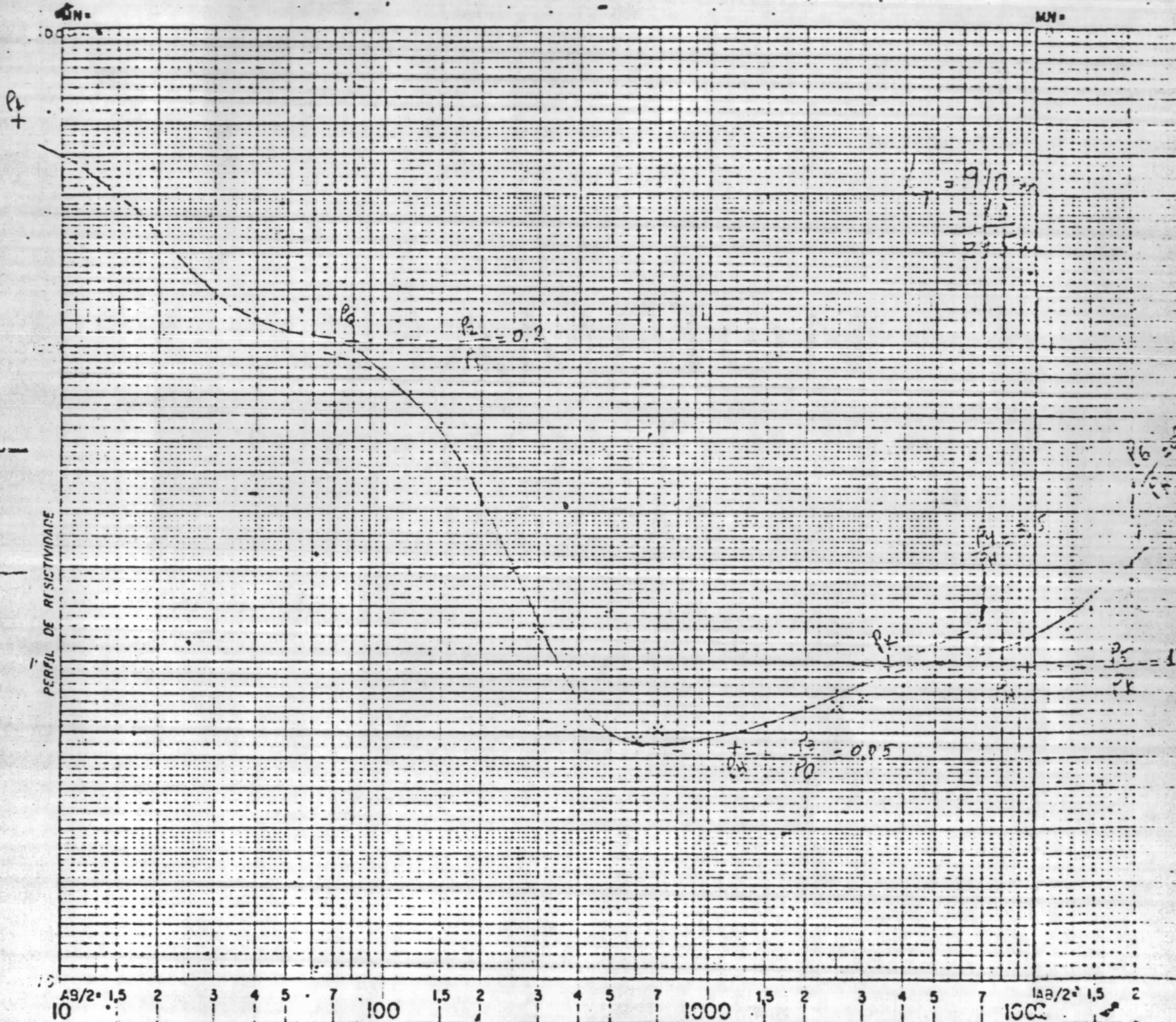
DISTRITO:

DATA:

ÁREA:

AZIMÜTE:

COTA: 15m



COLUNA LITOLÓGICA

OBSERVAÇÕES:

$$\text{inf. Sub.} = 950 \div 2,7 = 352 \text{ m}$$

$$\text{Elev. Sub (N.M)} = 352 - 15 = 337 \text{ m}$$

POCO:

RELATÓRIO:

FIGURA. 18

OBSER:

CROQUIS:

EQUIPE:

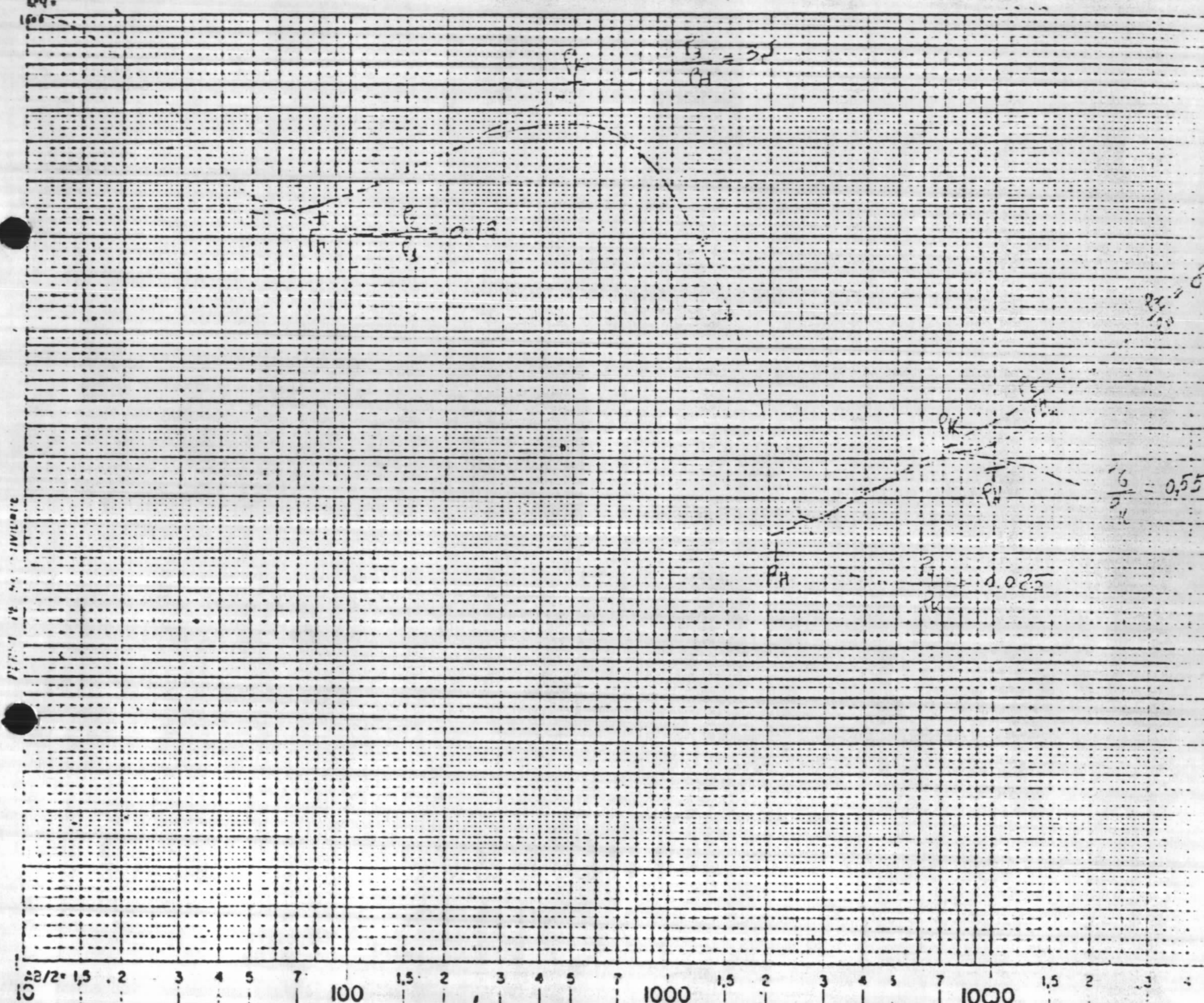
SEV SA-31

DISTRITO:

DATA:

ÁREA:

AZIMUTE: E-W - COTA: 271



COLUNA LITOLÓGICA

OBSERVAÇÕES:

POCO:

$$\text{Prof. emb.: } 1000 \div 2,7 = 370,350$$
$$\text{Prof. emb. (III)}: 370 - 30 = 340$$
$$\text{Elv. ...} \quad 250 \quad 220$$

FIGURA 19

RELATÓRIO:

CROQUIS:

EQUIPE:

SEV GR-21

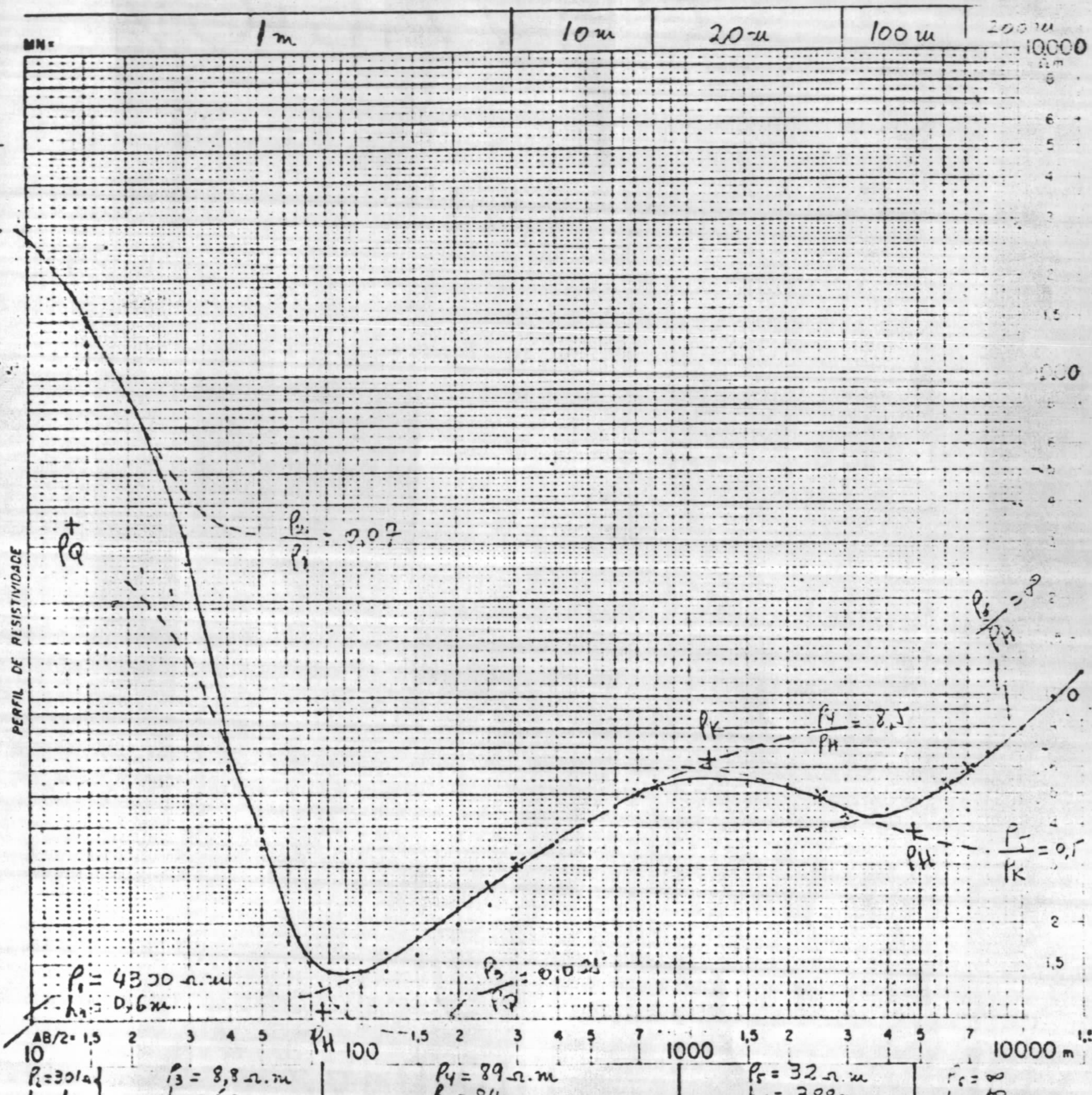
DISTRITO:

DATA: 07.06.78

Curva: Q H K H

ÁREA:

AZIMUTE: E-W COTA: 26 m.



COLUNA LITOLÓGICA

OBSERVAÇÕES:

$$\text{Coef. Anisotropia: } 480 \div 177 = 2,7$$

$$\text{Prof. Encb.: } 177 - 26 = -151 \text{ m}$$

RELATÓRIO

FIGURA 20

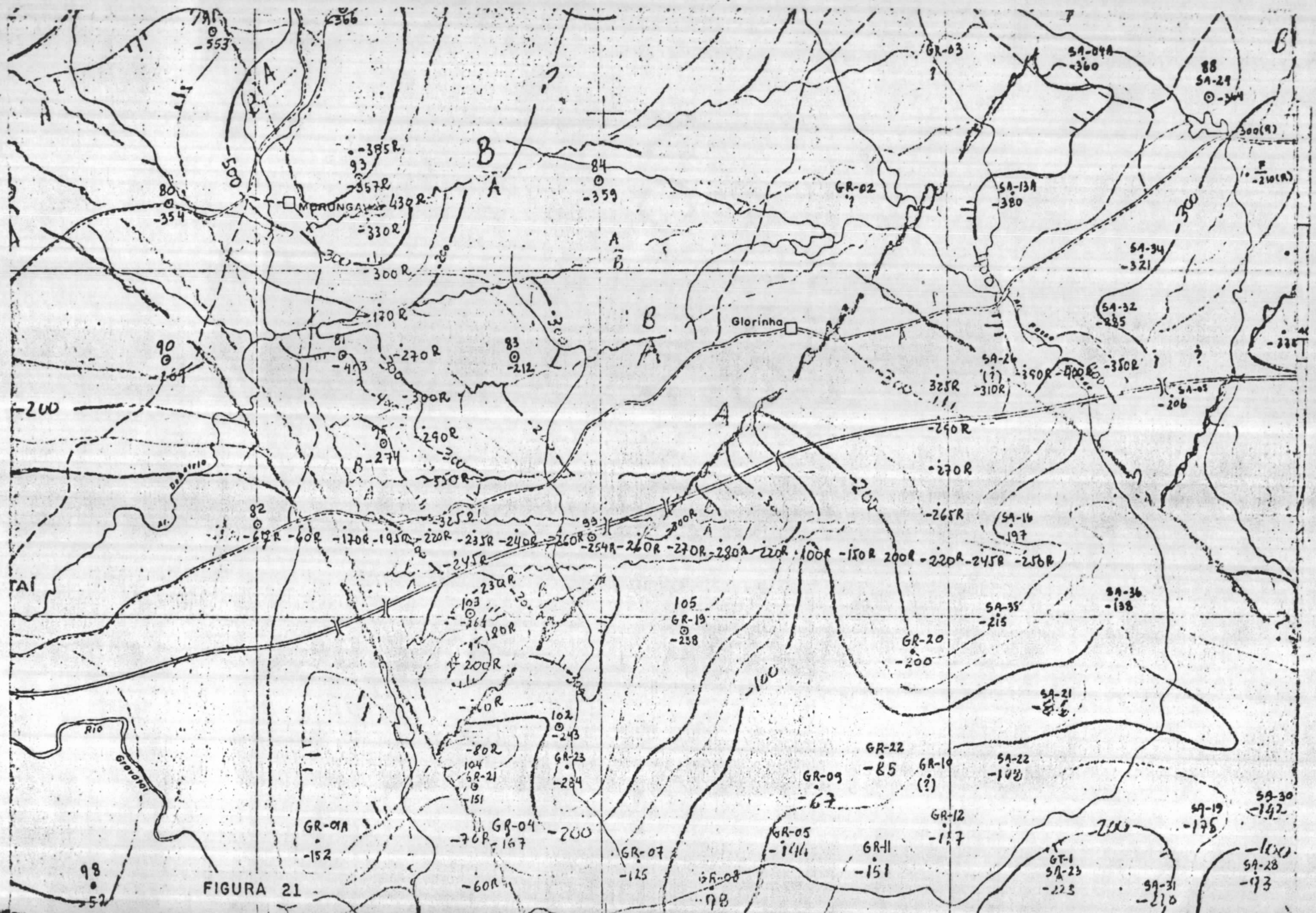


FIGURA 21

5. BIBLIOGRAFIA

- 5.1 - Farr, J.B. - Seismic Profiling For Coal Mining Planning - 1978 - 48º Congresso Anual Internacional da SEG - San Francisco - California - USA.
- 5.2 - Fettweis, G.B. - Some Basic Considerations on the Question of Mineability - 1977 - 3ª Conferência da IIASA sobre fontes de Energia, Moscou, USSR.
- 5.3 - Hagemann, R.F. e Peace D.C. - High Resolution Seismic Exploration For The Coal Mining Industry - 1976 - 46º Congresso Anual Internacional da SEG - Houston - Texas - USA.